

17. Кутателадзе С. С., Накоряков В. Е., Соболев В. В., Шрейбер И. Р. Динамика ударных волн в жидкости, содержащей пузырьки газа.— ПМТФ, 1974, № 5.
18. Николаевский В. Н., Басниев К. С., Горбунов А. Г., Зотов Г. А. Механика насыщенных пористых сред. М., «Недра», 1970.
19. Коштюк Г. Ф. Затухание ударных волн в газожидкостной среде.— «Вестн. Ленинград. ун-та», 1968, № 1.
20. Ляхов Г. М. Основы динамики взрывных волн в грунтах и горных породах. М., «Недра», 1974.
21. Кошелев Э. А. О развитии камуфлетной полости при взрыве в мягком грунте.— ПМТФ, 1975, № 2.
22. Хоскин Н. Э. Метод характеристик для решения уравнений одномерного неуставновившегося течения.— В кн.: Вычислительные методы в гидродинамике. М., «Мир», 1967.

УДК 624.131 + 539.215

**О МЕТОДЕ ОПРЕДЕЛЕНИЯ  
ПРЕДЕЛЬНЫХ ДИНАМИЧЕСКИХ ДИАГРАММ  
СЖАТИЯ ДЛЯ ГРУНТОВ И ПОРИСТЫХ СРЕД,  
ЧУВСТВИТЕЛЬНЫХ К СКОРОСТИ ДЕФОРМИРОВАНИЯ**

*A. И. Котов, Г. В. Рыков*

(Москва)

Для сред типа грунтов, чувствительных к скорости деформирования, существенным является вопрос об определении предельных динамических диаграмм сжатия, соответствующих мгновенному нагружению ( $\dot{\varepsilon} = \infty$ ) [1, 2]. Такие диаграммы до настоящего времени определялись на фронте ударной волны, распространяющейся в массиве грунта при взрывах зарядов ВВ [3—5] или при ударе по образцу грунта массы, имеющей достаточно большую начальную скорость [6]. При распространении в грунтах непрерывных волн сжатия указанный метод не может быть использован.

Для упругих и упругоупругих сред с нелинейными характеристиками для определения динамических диаграмм растяжения использовалась связь диаграмм одноосного сжатия (растяжения) со скоростью распространения слабых возмущений [7, 8].

**1.** Рассматриваемый метод основан на связи скоростей распространения слабых возмущений в сжатой среде с предельной динамической диаграммой  $\varphi(\varepsilon)$  ( $\dot{\varepsilon} = \infty$ ) в вязкопластической среде. Предполагается, что основные свойства грунтов и рассматриваемых пористых сред при кратковременных динамических нагрузках с достаточной точностью описываются при одноосном сжатии законом деформирования типа [9, 10]

$$(1.1) \quad \frac{\partial \varepsilon}{\partial t} = G (\sigma_1 - f(\varepsilon)) + \begin{cases} \frac{1}{E(\varepsilon)} \frac{\partial \sigma_1}{\partial t}, & \frac{\partial \sigma_1}{\partial t} \geqslant 0, \\ \frac{1}{E_*(\varepsilon)} \frac{\partial \sigma_1}{\partial t}, & \frac{\partial \sigma_1}{\partial t} < 0, \end{cases}$$

где  $\sigma_1$  — наибольшее главное напряжение;  $E(\varepsilon)$  — переменный модуль деформаций при нагружении ( $\partial \sigma_1 / \partial t \geqslant 0$ );  $E_*(\varepsilon)$  — переменный модуль деформаций при разгрузке ( $\partial \sigma_1 / \partial t < 0$ );  $G > 0$  при  $\sigma_1 > f(\varepsilon)$  и  $G = 0$  при  $\sigma_1 \leqslant f(\varepsilon)$ ;  $f(\varepsilon)$  — статистическая диаграмма сжатия при  $\dot{\varepsilon} = 0$ .

При  $E_*(\varepsilon) = E(\varepsilon)$  (1.1) совпадает с законом деформирования, рассмотренным в [11, 12]. Применительно к распространению взрывных волн в грунтах аналогичная модель рассматривалась в [13]. Из [9, 13], в частности, следует, что связь скоростей распространения малых возмущений  $a(\varepsilon)$  и предельной динамической диаграммы  $\varphi(\varepsilon)(\varepsilon = \infty)$  определяется соотношением

$$(1.2) \quad E(\varepsilon) = d\varphi(\varepsilon)/d\varepsilon = \rho_0 a^2(\varepsilon).$$

Из (1.2), интегрируя, получим предельную динамическую диаграмму

$$(1.3) \quad \varphi(\varepsilon) = \int_0^\varepsilon E(\xi) d\xi, \quad \varepsilon = \infty.$$

Для закона деформирования (1.1) соотношение (1.3) будет соответствовать условию нагружения ( $\partial\sigma_1/\partial t \geq 0$ ). Для разгрузки ( $\partial\sigma_1/\partial t < 0$ ) и при  $\sigma_1 < f(\varepsilon)$  получим аналогично

$$\varphi_*(\varepsilon, \varepsilon_*) = \sigma_{1*} + \int_{\varepsilon_*}^\varepsilon E_*(\xi) d\xi,$$

где  $\sigma_{1*}$ ,  $\varepsilon_*$  — напряжение и деформация, достигнутые к моменту, когда выполняется условие  $\sigma_1 = f(\varepsilon)$ .

Таким образом, зная из эксперимента зависимость  $a(\varepsilon)$ , можно построить предельную динамическую диаграмму  $\varphi(\varepsilon)(\varepsilon = \infty)$  при нагружении, а также диаграмму  $\varphi_*(\varepsilon, \varepsilon_*)$  при  $\sigma_1 < f(\varepsilon)$ .

Необходимо, однако, отметить одно обстоятельство. В [14] было показано, что для закона деформирования типа (1.1) возможна ситуация, когда слабые разрывы не распространяются со скоростью характеристик (случай движения, близкого к автомодельному). В то же время из [14] следует, что всегда можно найти такое конечное расстояние  $x_*$ , когда при  $x < x_*$  слабые возмущения будут распространяться со скоростью  $a(\varepsilon)$ .

Таким образом, при достаточно малой высоте образца  $h_0$  скорость распространения слабых возмущений всегда будет равна характеристической. Отсюда также следует, что для длинных стержней из материалов, обладающих вязкими свойствами, такой метод может оказаться непригодным [8].

2. Для определения зависимости  $a(\varepsilon)$  в лабораторных условиях образец материала подвергается статическому нагружению нагрузкой  $\sigma_{1i}$ , изменяемой ступенями ( $i = 1, 2, \dots, n$ ).

При этом определяется статическая деформация  $\varepsilon_i$  и соответствующее ей время  $t_i = t(\varepsilon_i)$  пробега волной слабого разрыва расстояния, равного высоте образца после предыдущего нагружения  $h_i = h(\varepsilon_{i-1})$ . При достаточно малой высоте образца скорость распространения волны слабого разрыва определяется как средняя

$$a(\varepsilon_i) = h_i/t_i, \quad i = 1, 2, \dots, n.$$

Приводятся результаты исследований предельных динамических диаграмм сжатия песчаного грунта с объемным весом скелета  $\gamma_0 = 1,50 \text{ г}/\text{см}^3$ , влажностью  $w = 0,003$  и пенопласта типа ПХВ с объемным весом  $\gamma_0 = 0,07 \text{ г}/\text{см}^3$ , проводившихся в установке, описанной ранее в [2].

Для измерения времени пробега  $t(\varepsilon_i)$  в установку внесены некоторые изменения. В частности, вместо поршневого и донного (центрального) тензодатчиков установлены пьезодатчики на базе керамики ЦТС-19, сигналы которых регистрировались на электронном осциллографе С1-33. При этом поршневой датчик выполнен в виде подвижного блока, который имел возможность смещаться при ударе по нему, генерируя волну слабого

разрыва в образце. Это слабое возмущение создавалось для каждого из значений  $\varepsilon$ , за счет удара по блоку с датчиком падающего шарика весом 100 г. Вес подвижного блока с датчиком также составлял 100 г. Высота сброса шарика 1—2 см.

На фиг. 1, а, б представлены осциллограммы сигналов, характеризующих возмущение в образце песчаного грунта, регистрируемое поршневым

1 и донным 2 датчиками. Здесь цена деления на осциллограммах  $75 \cdot 10^{-6}$  с (фиг. 1, а) и  $30 \cdot 10^{-6}$  с (фиг. 1, б). Соответствующие величины времени пробега и скорости  $a(\varepsilon)$  при  $\sigma_{10} = 0$  (фиг. 1, а) равны  $t(0) = 139 \cdot 10^{-6}$  с,  $a(0) = 215$  м/с, при  $\sigma_{1n} = 283$  кг/см<sup>2</sup> (фиг. 1, б)  $t(\varepsilon_n) = 16,5 \cdot 10^{-6}$  с,  $a(\varepsilon_n) = 1810$  м/с. Характер возмущений, регистрируемых в образцах пенопласта, аналогичен.

На фиг. 2,3 представлены соответствующие экспериментальные результаты для песчаного грунта (фиг. 2) и пенопласта (фиг. 3). По оси абсцисс отложены деформации  $\varepsilon$ , по оси ординат — напряжения  $\sigma_1$  и скорости  $a(\varepsilon)$ . При

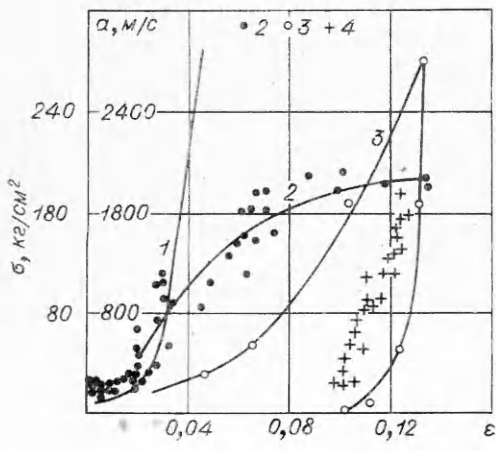
этом точки и кривые 2 соответствуют  $a(\varepsilon)$ , 3 — статическим диаграммам сжатия  $f(\varepsilon)$ , полученным при скорости деформирования  $\dot{\varepsilon} = 2,5 \cdot 10^{-4}$  с<sup>-1</sup> для песка и  $\dot{\varepsilon} = 2,5 \cdot 10^{-3}$  с<sup>-1</sup> для пенопласта. Точки 4 фиг. 2 соответствуют скоростям  $a_*(\varepsilon)$  при  $\sigma_1 < f(\varepsilon)$ . Зависимости  $a(\varepsilon)$  и  $f(\varepsilon)$  аппроксимированы следующими формулами:

для песка

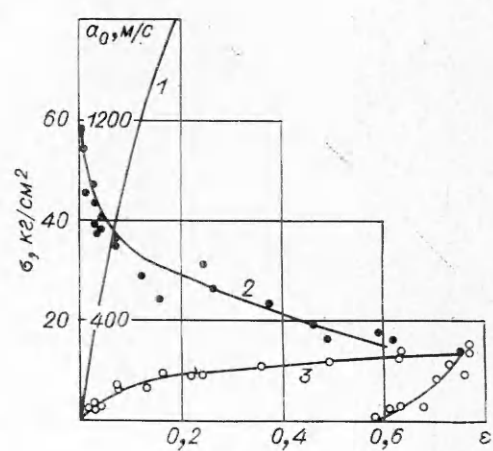
$$(2.1) \quad a(\varepsilon)/a(0) = 1 + m_0\varepsilon, \quad 0 \leq \varepsilon \leq \varepsilon_1;$$

$$a(\varepsilon)/a(\varepsilon_1) = [1 + m_1(\varepsilon - \varepsilon_1)^{v_1}]^{1/2}, \quad \varepsilon_1 < \varepsilon \leq 0,12;$$

$$(2.2) \quad f(\varepsilon) = K(\varepsilon + m_2\varepsilon^{v_2}), \quad 0 \leq \varepsilon \leq 0,13;$$



Фиг. 2



Фиг. 3

для пенопласта

$$(2.3) \quad a(\varepsilon)/a(0) = 1 - m_1 \varepsilon^{v_1}, \quad 0 \leq \varepsilon \leq 0,50;$$

$$(2.4) \quad f(\varepsilon) = \begin{cases} K\varepsilon, & 0 \leq \varepsilon \leq \varepsilon_s; \\ \sigma_s [1 + m_2 (\varepsilon - \varepsilon_s)^{v_2}], & \varepsilon_s < \varepsilon \leq 0,70. \end{cases}$$

В (2.1), (2.2)  $a(0) = 200$  м/с;  $m_0 = 37$ ;  $a(\varepsilon_1) = 350$  м/с;  $\varepsilon_1 = 0,02$ ;  $m_1 = 364$ ;  $v_1 = 1,0$ ;  $K = 550$  кг/см<sup>2</sup>;  $m_2 = 155$ ;  $v_2 = 3,0$ . В (2.3), (2.4)  $a(0) = 1125$  м/с;  $m_1 = 0,89$ ;  $v_1 = 0,36$ ;  $\varepsilon_s = 0,0346$ ;  $\sigma_s = 4,5$  кг/см<sup>2</sup>;  $K = 130$  кг/см<sup>2</sup>;  $m_2 = 2,30$ ;  $v_2 = 0,46$ .

Предельные динамические диаграммы (кривые 1, фиг. 2, 3) получены из (2.1), (2.3) с учетом (1.3) в следующем виде:

для песка

$$\varphi(\varepsilon) = \begin{cases} \frac{E_0}{3m_0} [(1 + m_0 \varepsilon)^3 - 1], & 0 \leq \varepsilon \leq \varepsilon_1, \\ \sigma_0 + E_1 [\varepsilon - \varepsilon_1 + m(\varepsilon - \varepsilon_1)^v], & \varepsilon_1 < \varepsilon \leq 0,12, \end{cases}$$

где  $E_0 = 608$  кг/см<sup>2</sup>;  $m = 182$ ;  $v = 2,0$ ;  $E_1 = 1880$  кг/см<sup>2</sup>;  $\sigma_0 = 23,2$  кг/см<sup>2</sup>; для пенопласта

$$\varphi(\varepsilon) = E_0 \left( \varepsilon - \frac{2m_1}{1+v_1} \varepsilon^{1+v_1} + \frac{m_1^2}{1+2v_1} \varepsilon^{1+2v_1} \right),$$

где  $E_0 = 1000$  кг/см<sup>2</sup>.

Интересно отметить качественное отличие в характере диаграмм  $\varphi(\varepsilon)$  ( $\varepsilon = \infty$ ) для песчаного грунта и для пенопласта. В первом случае скорости  $a(\varepsilon)$  возрастают с увеличением  $\varepsilon$ , а для  $\varphi(\varepsilon)$  имеет место условие  $d^2\varphi/d\varepsilon^2 > 0$ . Для пенопластов  $a(\varepsilon)$  убывает с увеличением  $\varepsilon$  и соответственно  $d^2\varphi/d\varepsilon^2 < 0$  (в пределах измеренных величин напряжений).

Отличие величин скоростей распространения слабых возмущений  $a_*(\varepsilon)$  при разгрузке от  $a(\varepsilon)$  при нагружении при одних и тех же значениях деформаций  $\varepsilon$  (точки 4, фиг. 2) свидетельствует о том, что в законе деформирования типа (1.1)  $E_*(\varepsilon) \neq E(\varepsilon)$ .

Полученные результаты подтверждают изложенные ранее в [2] данные о существенном влиянии скорости деформирования на сжимаемость песчаных грунтов при кратковременных нагрузках.

Еще более значительным оказывается влияние скорости деформирования на сжимаемость пенопласта, для которого различие в деформациях при  $\varepsilon = \infty$  и  $\varepsilon = 2,5 \cdot 10^{-3}$  с<sup>-1</sup> достигает 10—15 раз (при  $\sigma_1 = 10-12$  кг/см<sup>2</sup>).

Поступила 26 III 1976

#### ЛИТЕРАТУРА

- Мельников В. В., Рыков Г. В. О влиянии скорости деформирования на сжимаемость лесовых грунтов.— ПМТФ, 1965, № 2, с. 158—160.
- Рыков Г. В. Влияние скорости деформирования на сжимаемость и сдвиг песчаных и глинистых грунтов при кратковременных динамических нагрузках.— ПМТФ, 1969, № 3, с. 155—160.
- Алексеенко В. Д., Григорян С. С., Кошелев Л. И., Новгородов А. Ф., Рыков Г. В. Измерение волн напряжений в мягких грунтах.— ПМТФ, 1963, № 2, с. 135—141.
- Рыков Г. В. Экспериментальное исследование поля напряжений при взрыве в песчаном грунте.— ПМТФ, 1964, № 1, с. 85—89.
- Ляхов Г. М. Основы динамики взрыва в грунтах и жидких средах. М., «Недра», 1964, с. 61—66.
- Лагунов В. А., Степанов В. А. Измерение динамической сжимаемости песка при высоких давлениях.— ПМТФ, 1963, № 1, с. 88—96.

7. Баренблatt Г. И. О распространении возмущений в среде с нелинейной зависимостью напряжений от деформаций.— ПММ, 1953, т. XVII, вып. 4.
8. Ильин А. А., Ленский В. С. Сопротивление материалов. М., Физматгиз, 1959, с. 277.
9. Lubliner J. A general theory of strain-rate dependent plastic wave propagation in bars.— «J. Mech. Phys. Solids», 1964, vol. 12, p. 59—65.
10. Кристеску Н. О распространении продольных волн в тонких упруго-вязкопластических стержнях.— Сб. пер. Механика, 1966, № 3, с. 119—133.
11. Соколовский В. В. Распространение упруговязкопластических волн в стержнях.— ПММ, 1948, вып. 3, с. 261—280.
12. Малверн Л. Распространение продольных волн с учетом влияния скорости деформирования.— Сб. пер. Механика, 1952, вып. 1, с. 153—161.
13. Зубкова А. И., Рыков Г. В. Распространение одномерных волн напряжений в вязкопластической среде.— В кн.: Материалы V Всесоюзного симпозиума 4—7 окт. 1971 г. Алма-Ата, «Наука», 1973, с. 165—173.
14. Скобеев А. М. Волна нагружения в вязкопластической среде.— «Изв. АН СССР. МТТ», 1967, № 2, с. 139—142.

УДК 628.198.624

## ЗАЩИТНЫЕ СВОЙСТВА ТОНКОГО ЭКРАНА ПРИ ВЫСОКОСКОРОСТНОМ УДАРЕ

Л. А. Мережевский, В. М. Титов

(Новосибирск)

Пробивая тонкую пластину (экран), высокоскоростная частица (метеорит) разрушается в результате развивающихся в ней волновых процессов. При деформировании в частице вырабатывается поле скоростей с ненулевой составляющей, перпендикулярной направлению удара, поэтому траектории осколков направлены под различными углами к траектории частицы и удар осколков по преграде, расположенной за экраном, распределяется по площади, во много раз превосходящей площадь сечения частицы. Это вместе с потерей импульса частицы на пробивание и определяет защитное действие экрана.

Процесс деформации и разрушения частицы при соударении с экраном рассмотрен в [1]. В данной работе на основе проведенных экспериментов обосновывается методика количественных оценок разрушений преграды (мишени), защищенной экраном. Методика ускорения стальных шаров описана в [2]. В зазоре между экраном и мишенью во всех опытах давление доводилось до 1 мм рт. ст.

Общая постановка задачи о пробивании экранированной мишени усложняется тем, что при изменении расстояния между мишенью и экраном  $S$  меняется механизм воздействия на мишень. Если при малых  $S$  удар по мишени наносится неразошедшимся (компактным) облаком осколков либо только еще деформирующейся частицей, то с ростом  $S$  разрушение мишени все в большей степени определяется ударом наиболее крупных осколков рассредоточенного осколочного поля. Поэтому необходима оценка диапазона расстояний  $S_1 = S/d_0$  ( $d_0$  — диаметр ударяющей частицы), на которых воздействие на мишень определяется каждым из названных механизмов. При выборе в качестве мишени массивной (полубесконечной) преграды количественной характеристикой степени разрушения мишени и,